

## 2006年電子情報通信学会総合大会

B-1-28

FM 波の DOA 推定  
DOA Estimation for the FM Radio

池田 知浩<sup>†1</sup> 鈴木 雄将<sup>†1</sup> 桑原 義彦<sup>†1</sup> 中崎 秀則<sup>†2</sup> 岡田清孝<sup>†2</sup> 吉田昇<sup>†2</sup>  
Tomohiro Ikeda<sup>†1</sup> Yusuke Suzuki<sup>†1</sup> Yoshihiko Kuwahara<sup>†1</sup> Hidenori Nakasaki<sup>†2</sup> Kiyotaka Okada<sup>†2</sup> Noboru Yoshida<sup>†2</sup>

静岡大学大学院理工学研究科<sup>†1</sup> VICS センター<sup>†2</sup>  
Graduate School of Shizuoka University<sup>†1</sup> Vehicle Information and Communication System Center<sup>†2</sup>

## 1. あらまし

FM 多重 VICS 放送にダイバーシチ受信を適用すると、中電界地域で受信状態が改善する[1]。一方、欧米では放送局から離れた地域でもユーザの嗜好のあった放送を受信したいという潜在的要件があり、ダイバーシチ受信のニーズが高い。ダイバーシチ受信を実現するためには、空間相関の低い複数のアンテナを用意する必要がある。空間相関を計算するためには受信信号の DOA と広がりを把握する必要がある。我々は限られたスペースでダイバーシチアンテナを実現し、効果的なアンテナ配置を検討するため、FM 波の DOA をフィールドで測定した。

## 2. 空間相関と到来波 DOA・広がり

2つのアンテナの空間相関は次の式で計算できる[2]

$$\rho_{\phi} = \frac{\int \{XPR \cdot E_{\theta k}(\Omega) E_{\phi k}^*(\Omega) P_{\phi}(\Omega) + E_{\theta k}(\Omega) E_{\phi k}^*(\Omega) P_{\theta}(\Omega)\} e^{-j\phi \Delta \Omega} d\Omega}{\int \{XPR \cdot E_{\theta k}(\Omega) E_{\theta k}^*(\Omega) P_{\phi}(\Omega) + E_{\theta k}(\Omega) E_{\theta k}^*(\Omega) P_{\theta}(\Omega)\} d\Omega}$$

ここで

$$\int d\Omega = \int_0^{2\pi} \int_0^\pi \sin \theta d\theta d\phi$$

XPR : 平均交差偏波電力比

$E_{\theta k}$ ,  $E_{\phi k}$  ( $k=1, 2$ ) : アンテナの電界指向性の  $\theta$ ,  $\phi$  成分

$\beta_x$  : 2つのアンテナの到来角による位相差

$P_{\phi}, P_{\theta}$  :  $\theta$ ,  $\phi$  成分の到来角密度分布

## 3. DOA 計測

携帯電話では  $P_{\phi}, P_{\theta}$  が評価されているが FM 波では評価されていない。そこで図 1 の計測システムを用いフィールドで FM 波の計測を行った。アンテナは位相合成により前後比を改善した 2 素子アンテナである。これを半波長間隔でアレーを構成し、姿勢を変えて垂直偏波、水平偏波について測定する。計測アルゴリズムはインターフェロメータである。図 2 に本システムを使った計測の様子を示す。各地点で水平偏波の最大受信電力方向を探した後 DOA 測定する。図 3 に測定コースを示す。測定コースは浜松における VICS のカバレージ限界にほぼ等しい。図 3 の各点における DOA 測定結果を図 4 に示す。

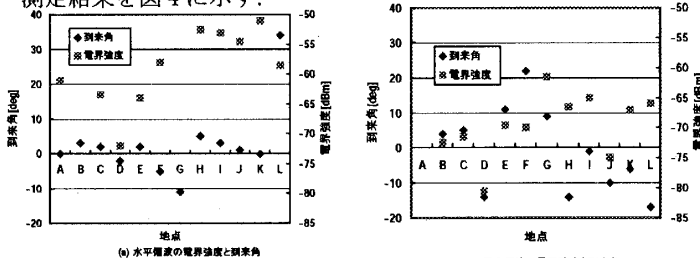


図 4 測定結果

郊外での FM 放送波伝播では、XPR が 7~18dB で常に水平偏波成分が大きいこと、水平・垂直偏波の到来角分布はそれぞれ概ね  $0^\circ \pm 5^\circ$ ,  $7^\circ \pm 7^\circ$  以内であることが判った。

## 文献

- [1] 河合他, “FM 音声多重方式 VICS におけるダイバーシチ適用効果,” 信学論 A, Vol.J88A(11), pp.1373-1375, 2005.
- [2] 多賀谷, “陸上移動通信におけるアンテナダイバーシチ相関特性の解析,” 信学論 B II Vol.J73B II(12), pp.833-895, 1990.

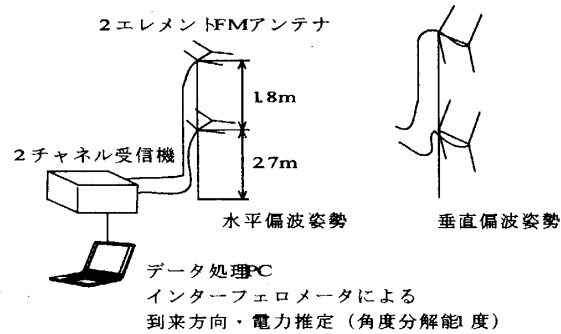


図 1 DOA 計測システム



図 2 計測車による DOA 推定

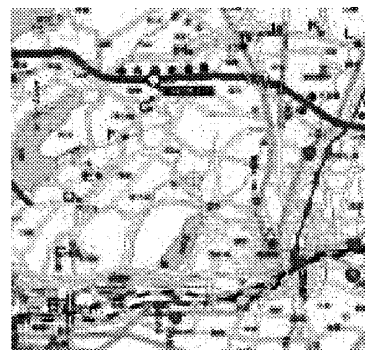


図 3 測定コース